

بِسْمِ اللَّهِ الرَّحْمَنِ الرَّحِيمِ



دانشگاه بیرجند

دانشکده علوم

پایان نامه کارشناسی ارشد زمین شناسی

گرایش تکتونیک

عنوان :

تحلیل هندسی و جنبشی عناصر ساختاری در راستای پهنه

گسلی چهکند (جنوب باختری بیرجند- خاور ایران)

استاد راهنما:

دکتر ابراهیم غلامی

اساتید مشاور:

دکتر محمود رضا هیهات

دکتر سید سعید محمدی

نگارش:

سکینه صمیمی

۹۰ دی ماه

فرم شماره ۱۰

## صورتجلسه دفاع از پایان نامه کارشناسی ارشد



با تاییدات خداوند متعال جلسه دفاع از پایان نامه تحصیلی کارشناسی ارشد خانم سکینه صمیمی به شماره  
دانشجویی: ۸۸۱۳۱۱۷۰۱۲ رشته: زمین شناسی گرایش: تکنونیک، دانشکده: علوم، تحت عنوان: تحلیل  
هندسی - جنبشی عناصر ساختاری در راستای پهنگ گسلی چهکند (جنوب باختری بیرجند، خاور ایران)

به ارزش: ۶ واحد درساعت: ۹ روز: یکشنبه مورخ: ۱۱/۱۰/۹۰

با حضور اعضای محترم جلسه دفاع و نماینده تحصیلات تکمیلی به شرح ذیل تشکیل گردید:

امضاء	رتبه علمی	نام و نام خانوادگی	سمت
	استادیار	دکتر ابراهیم غلامی	استاد راهنمای اول
	استادیار	دکتر محمود رضا هیهات	استاد راهنمای دوم
	استادیار	دکتر سیدسعید محمدی	استاد مشاور اول
	دانشیار	دکتر محمد مهدی خطیب	استاد مشاور دوم
	استادیار	دکتر سید مرتضی موسوی	داور اول
	استادیار	دکتر غلامرضا میراب شبستری	داور دوم
			نماینده تحصیلات تکمیلی

نتیجه ارزیابی دفاع که منوط به ارائه اصلاحات پیشنهادی توسط هیئت داوران حداکثر ظرف مدت یکماه  
پس از تاریخ دفاع می باشد، به شرح زیر مورد تایید قرار گرفت:

- ۱- عالی (۲۰-۱۹) ۲- بسیار خوب (۱۸-۱۷/۹۹) ۳- خوب (۱۶-۱۵/۹۹) ۴- قابل قبول (۱۴-۱۵)
- قبول (با درجه: عالی و امتیاز: ۱۹/۷۵)  دفاع مجدد  غیر قابل قبول

(بدیهی است عواقب آموزشی ناشی از عدم ارائه به موقع اصلاحات مذبور به عهده دانشجو می باشد)

تقدیم به:

پدر و مادر محترم بانم:

آنکه موقت‌هایی کوچک مرایا برگ شادی چشائشان پاداش دادند و با صفاتی باطن و قلبی آکنده از عشق و محبت در تامی مرال زندگی تکلیف کا هم بودند.

برادران و خواهر کرامی ام:

آنکه مشعل تابناک حیاتشان و آغوش سرشار از محبتشان روشنی قلبم است.

معلمان بزرگ زندگیم:

به آنکه نه تنها از دانش خود که از ایمان و صرخود بخشدند و آنچه را که در سحرگاه دانشم نیمه

خوبته بود، بیدار ساختند.

# پاسکنزاری

پورده‌گارا به پیشگاه پاک و مقدس تقدیم می‌دارم که بندگی فقط و فقط تورا سند. آنچه داده ای بیش

از شایستگی من است گرچه در خوربختندگی توست. خدا ای راشکرم که این نعمت را به من عطا

فرمود که امروز به عنوان قطره ای از اقیانوس بی‌کران خلقت کوشیده‌ای از سلکفتی این جهان

پناور را دیابم و هرچه بیشتر دانشم بیشتر به عظمت پورده‌گار پی بردم.

چه زیباست تایش خالق، او که زندگی می‌کنیم برای وصالش در حالی که تقدیر از مخلوق جنبه‌ای

از تایش خالق است. سئل کسیری و به بار نشستن این تحقیق مدیون راهنمایی خردمندانه استاد

ارجمند جناب آقا دکتر ابراهیم غلامی می‌باشد که در تمام مرافق راه را بر من هموار نموده و

علم خود را بی دین و منت در اختیارم نهاده. از ایشان به حاضر زحماتی که در طی این حدت محمل

گردیدند صنمکانه پاسکنزارم. همین از اساتید محترم جناب آقا دکتر محمود رضا هیات و دکترید

سعید محمدی که با نظرات سودمندانه انجام این تحقیق مرایاری دادند قدردانی می‌کنم. بر

خود لازم می دانم از اساتید بزرگوار جناب آقای دکتر محمد مهدی خطیب و دکتر سید مرتضی  
موسوی که داوری این پایان نامه را بر عمدۀ داشتند، مشکر کنم.

ذکر نام برخی از دوستان که در این مقطع تحصیلی یاریگیر من بوده اند ادای دینی هر چند ناچیز نسبت  
به این بزرگواران می باشد. در انجام این تحقیق خود را مددیون محبت‌های صادقانه خانم هفاطمه  
سی افضلی رثا، زهره سلیمانی، مینا خاشعی، طوبی طبیعی، نفیسه نژدانی، المام رضا پور و آقایان  
سیوان رحیمی، یشم مهدی پور می دانم. همچنین از خانم هامیرم کلی پور، فاطمه گلداری، خدیجه  
محمدی، فرزانه پور غیاثیان و آقایان قاسم فیروز، محمد نادی به خاطر همراهی در عملیات صحراوی مشکر  
می کنم.

در حاتمه از پدر و مادر عزیزم که امکان تحصیل در طی این سالهای طولانی را برایم فراهم آوردند از  
همیم قلب پاسکنارم.

## چکیده:

پنهانه‌ی گسلی چهکند در جنوب باختری شهر بیرجند و در بخش باختری دامنه‌ی شمالی رشته کوه باقران واقع شده است. از نظر ساختاری بخش باختری گسل جنوب بیرجند (F۲) با راستای کلی WNW- ESE با شیبی به سمت SSW را در بر می‌گیرد و از نظر ویژگی‌های سنگ شناسی شامل بخش‌هایی از آمیزه‌ی افیولیتی می‌باشد. این محدوده مشتمل بر مجموعه‌ای از برگه‌های راندگی F۱ و F۲ و F۳ و F۴ با شیب به سمت SW) و پس راندگی‌ها (با شیب به سمت NE) است. در پیمايش از جنوب به شمال و در راستای عمود بر کوهستان، کاهش شیب گسل‌ها، رخمنون پریدوتیت‌ها و میزان دگرشکلی به سمت شمال همگی ترتیب توالی گسل‌ش و رشد برگه‌های راندگی از کوهستان به سمت دشت (F۴ قدیمی‌ترین و F۱ جوانترین) را نشان می‌دهد. شواهد ساختاری همچون موقعیت هندسی صفحات گسلی (مانند گسل F۲)، خطواره‌های لغزشی و ساختهای S-C بر معکوس بودن مولفه‌ی اصلی همراه با مولفه‌ی کوچک امتدادلغز راستگرد برای صفحات گسلی با راستای کلی NW-SE و سازوکاری معکوس با مولفه‌ی کوچک امتدادلغز چپگرد برای صفحات گسلی با راستای کلی E-W دلالت دارد. میانگین موقعیت هندسی گسل F۲ R=۸۴SE N۶۴W, ۵۴SW است که سازوکاری معکوس با مولفه‌ی امتدادلغز راستگرد را نشان می‌دهد. گسل مذکور سبب رانده شدن واحدهای افیولیتی بر روی رسوبات جوان شده است که این فعالیت همراه با رخمنون پریدوتیت‌ها در سطح و توسعه‌ی چین‌های انتشار گسلی با راستای محور WNW-ESE در بخش شرقی منطقه شده است. در بخش میانی منطقه و به سمت غرب فعالیت گسل‌های پس راندگی موجب شکل گیری چین خوردگی‌های مرتبط با گسل‌ش از نوع خم گسلی، جابه‌جایی لایه‌ها در چین خوردگی‌های از قبل موجود و در نهایت ایجاد بالا جستگی (pop up) شده است. در بخش غربی منطقه نیز فعالیت گسل‌های پس راندگی (با شیب به سمت NE) با تشکیل ناویس‌های فرو دیواره‌ای، برگوارگی‌های همراه با راندگی، ریز چین‌های پلانژدار و برخاستگی منطقه همراه بوده است. بررسی فرایند ترانهش، میزان چین خوردگی رگه‌ها، بررسی آثار

حرکات متفاوت بر روی صفحات گسلی، وجود پس راندگی ها، چین خوردگی های مرتبط با گسلش و دوپلکس ها، نشان دهنده ای افزایش مولفه ای تنش کمینه ( $\sigma_r$ ) از شرق به غرب منطقه می باشد که همگی این شواهد تائید کننده ای دگرشكلي پيشرونده ای حاكم بر منطقه است که از سمت شرق به غرب در حال افزایش می باشد.

**كلمات کلیدی:** گسل چهکند، راندگی، چین انتشار گسلی، دگرشكلي فشارشی، بيرجند، خاور ايران

## فهرست مطالب:

صفحه	عنوان
	فصل ۱ - کلیات ..... ۱
۱.....	۱-۱ - مقدمه
۲.....	۱-۲ - تبیین موضوع
۳.....	۱-۳ - سوالات تحقیق
۴.....	۱-۴ - فرضیات تحقیق
۴.....	۱-۵ - وضعیت جغرافیایی و راه های دسترسی
۶.....	۱-۶ - روش تحقیق
۷.....	۱-۷ - پیشینه تحقیق
۱۰.....	فصل ۲ - ویژگی های زمین شناسی ..... ۱۰
۱۱.....	۱-۲ - مقدمه
۱۴.....	۲-۱ - تکامل تکتونیکی و الگوی دگرشکلی زیر پهنه سیستان و لوت
۲۱.....	۲-۳ - ویژگی های سنگ شناسی ایالت سیستان
۲۱.....	۲-۳-۱ - پدیده های دگرگونی در ایالت سیستان
۲۲.....	۲-۳-۲ - پدیده های آذرین
۲۳.....	۲-۴ - ویژگی های زمین شناسی منطقه جنوب بیرجند
۲۳.....	۴-۱ - چینه شناسی سنگی ناحیه جنوب بیرجند
۲۵.....	۴-۲ - زمین شناسی منطقه مورد مطالعه
۲۹.....	فصل ۳ - تحلیل هندسی - جنبشی عناصر ساختاری ..... ۲۹
۳۰.....	۳-۱ - مقدمه

۳۰	۲-۳-روش های تحلیل سازوکار گسلها
۳۳	۳-۳-بررسی ارتباط هندسی و جنبشی چینها و گسلهای راندگی
۴۱	۴-۳-معرفی منطقه
۴۳	۵-۳-بخش شرقی
۴۷	۱-۵-۳-گسل ها
۵۲	۲-۵-۳-چین ها
۵۵	۳-۵-۳-برگوارگی ها
۵۸	۴-۵-۳-رگه ها
۶۱	۵-۵-۳-تحلیل عناصر ساختاری بخش شرقی
۶۸	۶-۳-بخش غربی
۷۳	۱-۶-۳-گسل ها
۷۹	۲-۶-۳-دوپشتہ ها
۸۰	۳-۶-۳-چین ها
۸۹	۴-۶-۳-برگوارگی
۹۱	۵-۶-۳-رگه ها
۹۲	۶-۶-۳-تحلیل عناصر ساختاری بخش غربی
۹۴	۷-۳-تحلیل جنبشی عناصر ساختاری
۹۵	۷-۳-۱- تعیین موقعیت محورهای تنش با استفاده از گسل ها
۹۶	۷-۳-۲- تعیین موقعیت محور های تنش با استفاده از سطوح محوری چین ها
۹۸	۷-۳-۳: جنبش شناسی برگوارگی ها و رگه ها
۹۹	۷-۳-۴- نتیجه گیری
۱۰۰	فصل ۴- الگوی دگرشکلی منطقه

۱۰۱ .....	۱-۴ مقدمه
۱۰۱ .....	۲-الگوی دگرشكلى بخش شرقی
۱۰۶ .....	۳-الگوی دگرشكلى بخش غربی
۱۰۶ .....	۳-۱: الگوی دگرريختی در راستای مقطع ساختاری EF
۱۰۸ .....	۳-۲-الگوی دگرريختی در راستای مقطع ساختاری GH
۱۱۰ .....	۴-بررسی دگرشكلى پيشرونده در منطقه
۱۱۴ .....	۵-نتیجه گیری
۱۱۵ .....	<b>فصل ۵- بحث و نتیجه گیری</b>
۱۱۶ .....	۱-نتیجه گیری
۱۱۸ .....	۲-پيشنهادات
۱۲۰ .....	منابع

## فهرست اشکال:

..... شکل ۱-۱: نقشه‌ی راههای دسترسی به منطقه‌ی مورد مطالعه .....	۶
..... شکل ۲-۱: وضعیت ایران در کمربند آلپ هیمالیا .....	۱۱
..... شکل ۲-۲: ساختار کلی بخشی از زون جوش خورده سیستان .....	۱۳
..... شکل ۲-۳ : تکامل تکتونیکی زون جوش خورده سیستان در عرض جغرافیایی $32^{\circ}N$ .....	۱۸
..... شکل ۲-۴: نقشه زمین‌شناسی جنوب غرب بیرجند .....	۲۷
..... شکل ۲-۵: نمایی از دو گسل $F_2$ و $F_3$ .....	۲۸
..... شکل ۲-۶: گسل راندگی $F_2$ .....	۲۸
..... شکل ۳-۱: بافت s-c نشانگر یک پهنه‌ی برشی راستگرد .....	۳۱
..... شکل ۳-۲: بلوک دیاگرام و مقطع یک ورقه‌ی رانده نشانده‌نده‌ی توسعه‌ی چین‌های نامتقارن .....	۳۲
..... شکل ۳-۳: توالی شماتیک مراحل ساختاری از پیش شناخته شده .....	۳۴
..... شکل ۳-۴: تقسیم‌بندی سه گانه ساده از چینهای مرتبط با گسلهای راندگی .....	۳۶
..... شکل ۳-۵: نمایش زاویه بین پهلوها، زاویه پلکان گسل، ضخامت پهلوی خلفی و ضخامت پهلوی پیشانی .....	۳۶
..... شکل ۳-۶: تکامل پیش‌رونده سبک A، یک چین خم گسلی ساده .....	۳۸
..... شکل ۳-۷: تکامل پیش‌رونده یک چین انتشار گسلی .....	۳۹
..... شکل ۳-۸: یک توالی زمانی ساده برای مدلهای مختلف چین خورده‌ی مرتبط با راندگی .....	۴۰
..... شکل ۳-۹: نقشه‌ی زمین‌شناسی منطقه مورد مطالعه با مقیاس $1:50000$ .....	۴۲
..... شکل ۳-۱۰: نقشه‌ی زمین‌شناسی بخش شرقی منطقه مورد مطالعه .....	۴۴
..... شکل ۳-۱۱-۳ : نمایی از دو گسل $F_1$ , $F_2$ و $F_3$ در بخش شرقی منطقه .....	۴۵
..... شکل ۳-۱۲-۳: مقاطع ساختاری ترسیم شده در راستای AB و CD .....	۴۶
..... شکل ۳-۱۳-۳: صفحه‌ی گسل $F_2$ به همراه تصویر استریوگرافی .....	۴۷
..... شکل ۳-۱۴-۳: صفحه‌ی گسل $F_3$ به همراه تصویر استریوگرافی .....	۴۷
..... شکل ۳-۱۵-۳: نمایی از گسل تراستی $F_2$ و $F_3$ .....	۴۸
..... شکل ۳-۱۶-۳: صفحه‌ی گسل $F_1^9$ به همراه تصویر استریوگرافی .....	۴۸
..... شکل ۳-۱۷-۳: صفحه‌ی گسل $F_5$ به همراه تصویر استریوگرافی .....	۴۹
..... شکل ۳-۱۸-۳: صفحه‌ی گسل $F_6$ به همراه تصویر استریوگرافی .....	۴۹
..... شکل ۳-۱۹-۳: صفحه‌ی گسل $F_7$ به همراه تصویر استریوگرافی .....	۵۰

شکل ۳-۲۰: برگوارگی S/C پهنه گسلی F <sup>۸</sup> به همراه سیکلوگراف تحلیل جنبشی گسل F <sup>۸</sup> .....	۵۱
شکل ۳-۲۱: چین خوردگی واحدها همراه با نمودار تمرکز قطب یالها و نمایش موقعیت محورهای تنش.....	۵۲
شکل ۳-۲۲: چین خوردگی واحدها همراه با نمودار تمرکز قطب یالها و نمایش موقعیت محورهای تنش.....	۵۳
شکل ۳-۲۳: چین خوردگی واحدها همراه با نمودار تمرکز قطب یالها و نمایش موقعیت محورهای تنش.....	۵۳
شکل ۳-۲۴: چین خوردگی واحدها همراه با نمودار تمرکز قطب یالها و نمایش موقعیت محورهای تنش.....	۵۴
شکل ۳-۲۵: نمایش قطب سطح محوری و نمایش محور چین به همراه کنتور دیاگرام آنها.....	۵۴
شکل ۳-۲۶: رز دیاگرام امتداد برگوارگی ها به همراه تمرکز قطب برگوارگی ها .....	۵۵
شکل ۳-۲۷: نمایی از برگوارگی با شیب به جنوب غرب و شمال شرق.....	۵۷
شکل ۳-۲۸: کنتور دیاگرام قطب رگه ها به همراه رز دیاگرام امتداد رگه ها .....	۵۸
شکل ۳-۲۹: نمایی از رگه های کششی .....	۵۹
شکل ۳-۳۰: کنتور دیاگرام های قطب عناصر ساختاری در بخش شرقی .....	۶۲
شکل ۳-۳۱: تصویر سیکلوگرافی گسل ها به همراه موقعیت خطواره‌ی لغزشی و محورهای تنش.....	۶۳
شکل ۳-۳۲: چین خوردگی واحدهای رسوبی در بخشی از مقطع ساختاری AB .....	۶۶
شکل ۳-۳۳: نمایش کنتور دیاگرام تمرکز قطب لایه بندی در چین مرتبط با راندگی F <sup>۲</sup> .....	۶۶
شکل ۳-۳۴: نمایی از واحدهای kush و pEs مربوط به یال های چین مرتبط با راندگی F <sup>۱</sup> و F <sup>۲</sup> .....	۶۷
شکل ۳-۳۵: الف و ب) نمایی از پهلوی پیشانی و خلفی چین مربوط به راندگی F <sup>۲</sup> .....	۶۸
شکل ۳-۳۶: نقشه‌ی زمین شناسی بخش غربی منطقه‌ی مورد مطالعه .....	۷۰
شکل ۳-۳۷: رخنمون پریدوتیت‌ها در بخش غربی در راستای گسل F <sup>۲</sup> .....	۷۱
شکل ۳-۳۸: نمایی از اوج گیری واحدها از دشت(NW) به سمت کوهستان(SE) .....	۷۱
شکل ۳-۳۹: مقاطع ساختاری ترسیم شده در راستای EF و GH مشخص شده در شکل ۳-۳۶ .....	۷۲
شکل ۳-۴۰: صفحه‌ی گسل F <sup>۲</sup> به همراه تصویر استریوگرافی .....	۷۳
شکل ۳-۴۱: صفحه‌ی گسل F <sup>۹</sup> به همراه تصویر استریوگرافی .....	۷۳
شکل ۳-۴۲: صفحه‌ی گسل F <sup>۱۳</sup> به همراه تصویر استریوگرافی .....	۷۴
شکل ۳-۴۳: صفحه‌ی گسل F <sup>۱۰</sup> به همراه تصویر استریوگرافی .....	۷۵
شکل ۳-۴۴: صفحه‌ی گسل F <sup>۱۴</sup> به همراه تصویر استریوگرافی .....	۷۵
شکل ۳-۴۵: صفحه‌ی گسل F <sup>۱۵</sup> به همراه تصویر استریوگرافی .....	۷۶
شکل ۳-۴۶: صفحه‌ی گسل F <sup>۱۶</sup> به همراه تصویر استریوگرافی .....	۷۶

..... ۷۷	شکل ۳-۴۷: مدل مفهومی از یک سیستم تراستی که موجب چین خورگی لایه ها شده است
..... ۷۸	شکل ۳-۴۸: کنتور دیاگرام محور چین ها همراه با نمایش صفحه‌ی حرکت
..... ۷۸	شکل ۳-۴۹: نمایی از گسل تراستی F۱۷ در بخش هایی از منطقه
..... ۷۹	شکل ۳-۵۰: الف: ساختارهای دوپلکسی باشیب به سمت پس بوم و پیش بوم
..... ۷۹	شکل ۳-۵۱: دوپلکس D۱ با شیب به سمت پیش بوم
..... ۸۰	شکل ۳-۵۲: دوپلکس D۲ با شیب به سمت پس بوم
..... ۸۱	شکل ۳-۵۳: الف) چین خوردگی و گسل خوردگی واحدهای ماسه سنگی
..... ۸۲	شکل ۳-۵۴: نمایی از چین s شکل
..... ۸۳	شکل ۳-۵۵: نمایی از چین f <sup>۷</sup>
..... ۸۴	شکل ۳-۵۶: نمایی از چین f <sup>۸</sup>
..... ۸۵	شکل ۳-۵۷: نمایی از چین f <sup>۹</sup> به همراه نمایش موقعیت این چین در مقطع EF
..... ۸۶	شکل ۳-۵۸: نمایی از چین z شکل
..... ۸۷	شکل ۳-۵۹: نمایی از چین f <sup>۱۱</sup>
..... ۸۸	شکل ۳-۶۰: نمایی از چین f <sup>۱۲</sup>
..... ۸۹	شکل ۳-۶۱: الف) کنتور دیاگرام تمرکز محور چین ها. ب) تمرکز قطب سطح محوری چین ها
..... ۸۹	شکل ۳-۶۲: الف) کنتور دیاگرام تمرکز محور ریز چین ها. ب) تمرکز قطب سطح محوری ریز چین ها
..... ۹۰	شکل ۳-۶۳: نمایی از برگوارگی به همراه کنتور دیاگرام تمرکز قطب برگوارگی ها
..... ۹۰	شکل ۳-۶۴: کنتور دیاگرام قطب برگوارگی ها
..... ۹۱	شکل ۳-۶۵: نمایی از برگوارگی باشیب به سمت شمال در شیل فیلیتی
..... ۹۲	شکل ۳-۶۶: کنتور دیاگرام قطب رگه ها در راستای گسل F۲، مقطع GH و مقطع EF
..... ۹۲	شکل ۳-۶۷: الف) نمایی از یک رگه‌ی لیسوینیتی. ب) نمایی از یک رگه‌ی کلسیتی.
..... ۹۳	شکل ۳-۶۸: صفحات گسلی برداشت شده به همراه خطواره‌ی لغزشی و موقعیت محورهای تنش
..... ۹۴	شکل ۳-۶۹: کنتور دیاگرام های قطب عناصر ساختاری در بخش غربی منطقه
..... ۹۶	شکل ۳-۷۰: نمایش محورهای اصلی تنش بر اساس گسل ها
..... ۹۶	شکل ۳-۷۱: تصویر سیکلوگرافی نمایش مناطق فشارش
..... ۱۰۱	شکل ۴-۱: نمایش تمرکز قطب لایه بندی در چین مرتبط با راندگی F۲ به همراه موقعیت محورهای تنش
..... ۱۰۳	شکل ۴-۲: اندازه گیری شیب پهلوی خلفی چین و زاویه‌ی بین یالی چین مرتبط با راندگی F۲

شکل ۴-۳: موقعیت چین مرتبط با راندگی F <sup>۲</sup> در نمودار چین انتشار گسلی ..... ۱۰۳
شکل ۴-۴: نمایش محور چین های مرتبط با راندگی F <sup>۱</sup> و F <sup>۲</sup> در بخش شرقی منطقه مورد مطالعه ..... ۱۰۴
شکل ۴-۵: توالی گسلش عادی در یک کمریند چین و راندگی ..... ۱۰۵
شکل ۴-۶: مدل تکتونیکی بخش شرقی منطقه مورد مطالعه ..... ۱۰۵
شکل ۴-۷: نمایی از چین f <sup>۹</sup> (γ زاویه بین پهلوها، α زاویه شیب گسل) ..... ۱۰۷
شکل ۴-۸: موقعیت چین f <sup>۹</sup> مرتبط با راندگی F <sup>۱۱</sup> در نمودار چین خم گسلی ..... ۱۰۷
شکل ۴-۹: مدل تکتونیکی بخش میانی منطقه مورد مطالعه (قطع EF) ..... ۱۰۸
شکل ۴-۱۰: نمایی از پس راندگی ها در بخش غربی منطقه ..... ۱۰۹
شکل ۴-۱۱: مدل تکتونیکی بخش غربی منطقه مورد مطالعه (قطع GH) ..... ۱۰۹
شکل ۴-۱۲: تصاویر ۱ تا ۴ مراحل مختلف تکامل ترانسپوزیشن ..... ۱۱۱
شکل ۴-۱۳: چین خوردگی برگوارگی ها در بخش شرقی منطقه ..... ۱۱۲
شکل ۴-۱۴: (الف) چین یال موازی از نشانگرهای فرایند ترانسپوزیشن در بخش غربی منطقه ..... ۱۱۳
شکل ۴-۱۵: چین خوردگی رگه ها در بخش شرقی منطقه ..... ۱۱۳
شکل ۴-۱۶: شکل شماتیک چین خوردگی رگه ها به همراه چین خوردگی رگه ها در بخش غربی ..... ۱۱۴
تصویر ۱-۱: موقعیت منطقه i مورد مطالعه در تصویر ماهواره ای ..... ۳
تصویر ۱-۳: تصویر ماهواره ای موقعیت گسل تراستی F <sup>۱</sup> و موقعیت گسل F <sup>۸</sup> ..... ۵۱

## فهرست جداول:

جدول ۳-۱: مشخصات گسل F <sup>۸</sup> به همراه برگواره های S-C برداشت شده ..... ۵۰
جدول ۳-۲: موقعیت هندسی برگواره ها و لایه بندی های برداشت شده در بخش شرقی ..... ۵۶
جدول ۳-۳: مشخصات رگه های برداشت شده در بخش شرقی منطقه ..... ۶۰
جدول ۳-۴: مشخصات چین های برداشت شده در بخش شرقی منطقه ..... ۶۴
جدول ۳-۵: مشخصات گسل های شناسایی شده در بخش شرقی منطقه ..... ۶۵
جدول ۳-۶: موقعیت برگوارگی ها در بخشی از مقطع GH ..... ۹۱
جدول ۳-۷: موقعیت تنش های اصلی بدست آمده از تحلیل چین خورده ها ..... ۹۷
جدول ۴-۱: نمایش موقعیت چین مرتبط با راندگی F <sup>۲</sup> به همراه موقعیت محورهای تنش ..... ۱۰۲

## فصل اول

کلیات

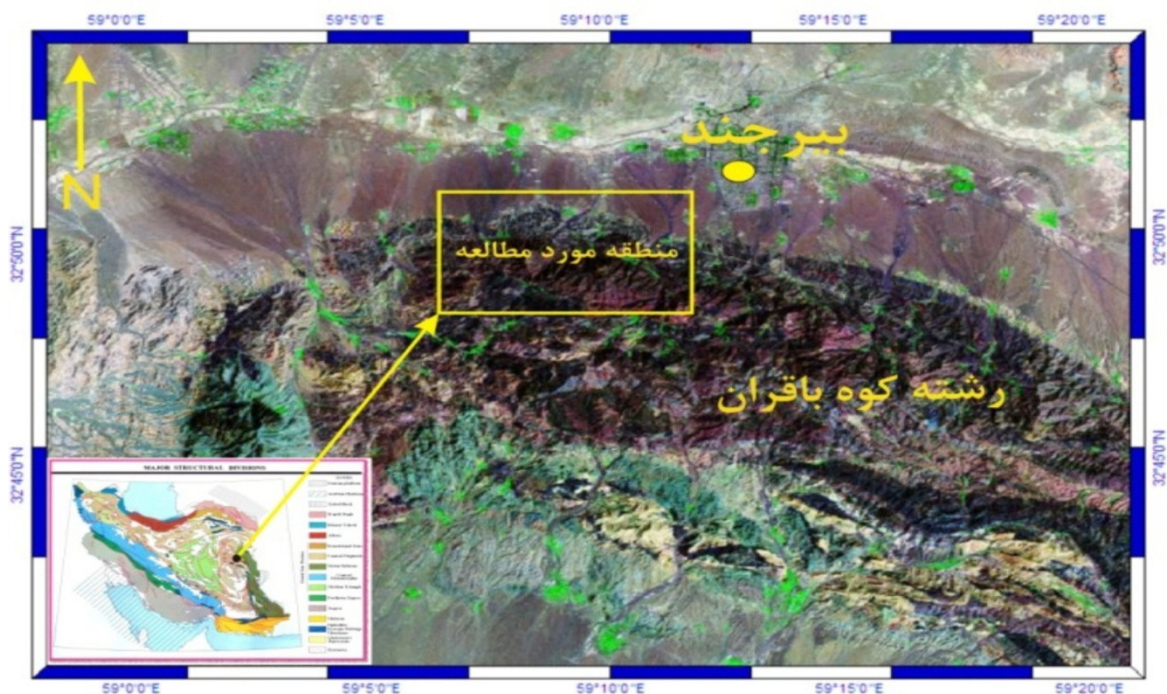
## ۱-۱- مقدمه:

رشته کوه جنوب بیرون یکی از شاخه های تمایل یافته از پهنه سیستان به داخل پهنه لوت می باشد (آقانباتی ۱۹۸۶). مطالعات سالهای اخیر نشان داد که بررسی پیچیدگی های ساختاری این رشته کوه کلید حل بسیاری از ابهامات زمین شناسی منطقه است. از جمله دستاوردهای این مطالعات معرفی سازوکار گسل جنوب بیرون (امتدادلغز چپ گرد با مولفه‌ی معکوس) در این رشته کوه می باشد (عرب خزایی، ۱۳۸۹). رخمنون واحدهای قدیمی افیولیتی در بین انواع جوانتر با مرز گسلی در بخش های زیادی از این رشته کوه قابل مشاهده است. در همین راستا به نظر می رسد با جمع آوری دقیق داده های ساختاری و ارائه‌ی تفسیر صحیحی از آنها بتوان الگوی مناسبی را جهت تحلیل ساختاری، بررسی نقش مولفه های حرکتی گسل ها و نحوه‌ی جایگیری افیولیت ها در راستای ورقه های راندگی ارائه نمود. به منظور دست یابی به اهداف تعریف شده در این پژوهش، برداشت داده های ساختاری در راستای چندین مسیر طولی و عرضی نسبت به پهنه‌ی گسلی چهکند، انجام گرفته است و نتایج حاصل به طور مفصل در این تحقیق ارائه شده است.

## ۲-۱- تبیین موضوع:

در حد فاصل زیر پهنه‌ی سیستان و لوت رخمنون واحد های سنگی و پهنه های گسلی به روند های شرقی - غربی منتهی شده اند (شکل ۱-۱). بررسی نحوه‌ی استهلاک انرژی، رشد و گسترش کوهستان ها از سمت سیستان به طرف لوت و در راستای گسل های مذکور از جمله مواردی می باشد که نیاز به مطالعات ساختاری دارد. بر اساس مطالعات پیشین در پهنه های گسلی شرقی - غربی در حد فاصل زیرپهنه‌ی سیستان و لوت حرکت در راستای مولفه قائم انجام گردیده است (Berberian, ۱۹۹۹, ۲۰۰۰, ۲۰۰۱; Walker & Jackson, ۲۰۰۴). در کمربندهای همگرا هندسه ورقه های راندگی به عنوان مهم ترین عناصر ساختاری در تحلیل جنبشی می توانند مورد استفاده قرار گیرند (Mc Clay, ۱۹۹۲). در همین راستا بررسی قطعه‌ی گسلی چهکند (با راستای کلی شرقی -

غربی) که در بخش غربی گسل جنوب بیرجند قرار دارد، به منظور بررسی نقش برگه های راندگی در دگرشکلی این منطقه انتخاب گردید. لذا نقش مولفه ای قائم در راستای گسل، الگوی گسترش و تحلیل دگرشکلی در راستای ورقه های راندگی مورد توجه قرار گرفته است.



تصویر ۱-۱: موقعیت منطقه ای مورد مطالعه در تصویر ماهواره ای

### ۱-۳- سوالات تحقیق :

- ۱- تغییرات هندسه ای صفحات گسلی در راستای عمود بر کوهستان (N-S) و به موازات کوهستان چگونه است؟
- ۲- نقش مولفه های قائم و برشی در گسل های با راستای کلی شرقی - غربی چگونه است؟
- ۳- توسعه ای ساختارها با فاصله گرفتن از مرز کوه و دشت (در راستای عمود بر پهنه) چگونه است؟
- ۴- توسعه هندسه و جنبش پس راندگی ها در منطقه ای مورد مطالعه چگونه قابل توجیه است؟
- ۵- آیا چین ها و گسل ها به طور مستقل ایجاد شده اند یا مرتبط اند؟

#### ۴- فرضیات تحقیق:

- در بخش باختری کوه باقران که پهنه های گسلی روند شرقی غربی دارند، بیشترین حرکت در راستای مولفه قائم انجام شده است.
- به سمت خاور اثر مولفه برشی رفته افزایش می یابد.
- اثر پس راندگی در بخش غربی گسل بیشتر است.
- چین ها در ارتباط با گسل ها ایجاد شده اند.

#### ۱-۵- وضعیت جغرافیایی و راه های دسترسی :

این منطقه با طول جغرافیایی E "۷۰° ۵۹' ۱۱'۰" و عرض جغرافیایی N "۳۰' ۳۰' ۴۹' ۴۹" می باشد. در حد فاصل پهنه های سیستان و لوت واقع شده است (آقانباتی، ۱۳۸۳). منطقه ای مورد مطالعه در این تحقیق در محدوده ای قطعه ای گسلی چهکند (در جنوب باختری شهر بیرجند)، در بخش باختری دامنه ای شمالی رشته کوه باقران واقع شده است. راستای کلی قطعه ای گسلی مذکور خاوری- باختری می باشد که در قسمت باختری سیستم گسلی جنوب بیرجند قرار دارد (عرب خزایی، ۱۳۸۹).

#### - آب و هوای:

آب و هوای بیرجند، نیمه بیابانی بوده و دارای زمستانهای سرد و تابستانهای خشک و گرم است. ارتفاع این شهر از سطح دریا ۱۴۹۱ متر می باشد. میزان بارش در این شهر با توجه به آب و هوای آن، کم بوده و بیشترین میزان آن، از آذر تا اردیبهشت رخ می دهد که در فصل زمستان اغلب به صورت بارش برف است. میانگین سالیانه بیشترین و کمترین درجه حرارت این شهر برابر با ۲۴ و ۸ درجه سانتیگراد است. کمترین دمای ثبت شده در این شهر برابر با ۲۱/۵ - درجه سانتیگراد و بیشترین آن برابر با ۴۴ درجه سانتیگراد بوده است. شهر بیرجند، به طور میانگین در ۷۶ روز از سال دارای دمای